

Алгоритм	Массив					
	256 * 256			1024 * 1024		
	Время расчета	V	Q	Время расчета	V	Q
БПФ с магнитной лентой	12 ч 44'	2 <sup>1</sup>	—	200 ч	2 <sup>1</sup>	—
БПФ с диском без применения быстрых алгоритмов	5 ч 30'	2 <sup>1</sup>	2 <sup>0</sup>	21 ч 10'	2 <sup>1</sup>	2 <sup>21</sup>
Ханта [1]	38'	2 <sup>5</sup>	2 <sup>3</sup> +2	4 ч 25'	2 <sup>5</sup>	2 <sup>5</sup> +2
Эклюнда [2]	43'	2 <sup>1</sup>	2 <sup>4</sup>	3 ч 7'	2 <sup>1</sup>	2 <sup>4</sup> +4
Экстрома [3]	31'	2 <sup>4</sup>	2 <sup>2</sup>	2 ч	2 <sup>5</sup>	2 <sup>2</sup>
Тип ЭВМ	EC-1020			EC-1022		

библиотеки стандартных программ ЭВМ ЕС. Для иллюстрации эффективности рассмотренных алгоритмов в таблице приведены данные, полученные для ВЗУ с прямым и последовательным доступами без применения быстрых алгоритмов транспонирования.

На основании исследований сделаны следующие выводы:  
использование для БПФЗУ с последовательным доступом пецилесообразно;  
наиболее эффективным в случае ограниченной памяти ОЗУ является алгоритм Экстрома;  
при равных  $Q_i$  необходимо отдать предпочтение алгоритму Ханта, осуществляющему транспонирование матрицы в ОЗУ по частям;  
 дальнейшее увеличение быстродействия алгоритма Экстрома возможно посредством увеличения быстродействия БПФ, занимающего более 60% общего времени работы ЭВМ.

#### ЛИТЕРАТУРА

- Хант Б. Р. Структура данных и организация вычислений при цифровом улучшении качества изображений.— ТИИЭР, 1972, т. 60, № 7.
- Eklyndh J. O. A Fast Computer Method for Matrix Transposing.— IEEE Trans. Computers, 1972, vol. C-21, N 7.
- Twogood R. E., Ekstrom M. P. An Extension of Eklund's Matrix Transposition Algorithm and its Application in Digital Image Processing.— IEEE Trans. Computers, 1976, vol. C-25, N 9.
- Оноэ М. Метод двумерного преобразования без транспонирования большой матрицы данных.— ТИИЭР, 1975, т. 63, № 1.

Поступило в редакцию 28 августа 1978 г.

УДК 621.314

М. Г. РОХМАН

(Харьков)

#### АНАЛИЗ ВЛИЯНИЯ БУФЕРНЫХ ДЕЛИТЕЛЕЙ НА НЕРАВНОМЕРНЫЕ ДВОИЧНЫЕ ИМПУЛЬСНЫЕ ПОСЛЕДОВАТЕЛЬНОСТИ

Во многих устройствах преобразования (например, управляемые делители частоты (УДЧ)) выходная частота  $f_v$  представлена суперпозицией двоичных субгармонических составляющих входной (опорной) частоты  $f_0$ , т. е.

$$f_v = f_0 \sum_{k=p}^i b_k 2^{-k}, \quad (1)$$

где индексы  $p$ ,  $i$  — номера младшей и старшей составляющих в данной комбинации  $f_n$ ,  $b_k \in \{0; 1\}$ .

Если  $n$  — число разрядов УДЧ, то индексы  $p$ ,  $i$  могут принимать значения

$$p = \overline{(1, n)}, \quad i = \overline{(p+1, n)} \quad (2)$$

при  $2^n$  комбинациях выходной частоты.

В этом случае выходная импульсная последовательность любой комбинации из всего множества  $2^n$  (за исключением  $n$  комбинаций, представленных только однородной из  $n$  субгармоник) имеет явно выраженную периодическую неравномерность и может быть охарактеризована следующими параметрами: интервалом неравномерности  $T_{\text{НР}} = 2^i T_0$ ; числом импульсов за интервал неравномерности  $N_{\text{НР}} = 2^i \sum_{k=p}^i b_k 2^{-k}$ ; максимальным и минимальным периодами следования импульсов внутри интервала неравномерности  $T_{\max} = 2^p T_0$ ,  $T_{\min} = 2^{p-1} T_0$ ; количеством следующих друг за другом максимальных и минимальных периодов следования импульсов внутри интервала неравномерности

$$\eta_{\max} = 2^{i-p} - 1, \quad \eta_{\min} = 2^{h-p+2^c} - 2. \quad (3)$$

В последних выражениях индексами  $j$  и  $h$  обозначены соответственно номера первой субгармоники данной комбинации из следующих после  $p$ -субгармоники с пропуском номера ( $p \leq j \leq i$ ) и старшей субгармоники из следующих за  $p$ -субгармоникой без пропуска номера в данной комбинации ( $p \leq h \leq i$ ). При  $h = i$   $c = 0$ , при  $h < i$   $c = 1$ .

Анализ выражений (3) показывает, что в зависимости от комбинаций двоичных составляющих, образующих выходную частоту УДЧ,  $\eta_{\max}$  может принимать нечетные значения от 1 до  $2^{i-p} - 1$  включительно (при  $j=n$ ,  $p=1$   $\eta_{\max} = 2^{n-1} - 1$ ),  $\eta_{\min}$  — четные значения от 2 до  $2^{i-p+1} - 2$ ; для комбинаций с  $\eta_{\max} > 1$  (комбинации двоичных составляющих с  $j \geq p+2$  во всей области определения индекса  $j$ )  $\eta_{\min} = 2$ ; для комбинаций с  $\eta_{\max} > 1$  (комбинации, в состав которых входит не менее двух первых субгармоник ( $p$ ,  $p+1$ ) без пропуска номера)  $\eta_{\min} = 2^{h-p+2^c} - 2$  при этом для комбинаций, образованных только двумя соседними составляющими ( $p$ ,  $p+1$ ),  $\eta_{\max} = 1$ ,  $\eta_{\min} = 2$ .

Следовательно, все комбинации неравномерных двоичных импульсных последовательностей из множества  $2^n$  комбинаций можно разбить на 3 группы, отличающиеся по величине и количеству следующих друг за другом временных сдвигов между импульсами внутри интервала неравномерности.

1. Комбинации, образованные только  $p$ - и  $p+1$ -субгармониками:

$$\eta_{\max} = 1, \quad \eta_{\min} = 2. \quad (4)$$

Для этой группы комбинаций импульсная последовательность на выходе УДЧ (рис. 1)

$$f_{b_1} = (3/2) f_0 2^{-p},$$

где  $f_0$  — равномерная импульсная последовательность на входе УДЧ.

2. Комбинации, имеющие разрыв (разрывы) номеров субгармоник внутри ряда:

$$\eta_{\max} = 1, \quad \eta_{\min} = 2^{h-p+2^c} - 2. \quad (5)$$

В виде примера на рис. 1 показана  $f_{b_2} = f_0 (2^{-p} + 2^{-p-1} + 2^{-p-2})$ .

3. Комбинации, содержащие разрыв номеров субгармоник после  $p$ -субгармоники:

$$\eta_{\max} = 2^{j-p} - 1, \quad \eta_{\min} = 2. \quad (6)$$

В этой группе комбинаций  $j \geq p+2$ . На рис. 1 представлена  $f_{b_3} = f_0 (2^{-p} + 2^{-p-3})$ .

Поскольку импульсы внутри интервала неравномерности следуют с периодами  $T_{\max}$  и  $T_{\min}$ , коэффициент неравномерности  $K_{\text{НР}}$  для рассматриваемых последовательностей  $K_{\text{НР}} = T_{\max}/T_{\min} = 2$ .

Последнее приводит к возникновению погрешностей в дискретных преобразователях из кода во временной интервал и наоборот [1, 2]. А это, в свою очередь, отрицательно сказывается, например, на точности выхода режущего инструмента в заданную точку траектории при числовом программном управлении станками [3] или на характере пиззочастотных возмущений в цифровых регуляторах [4].

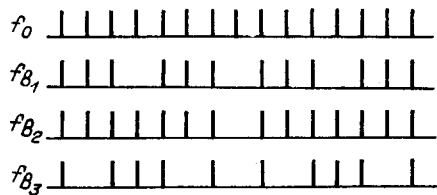


Рис. 1.

ражениями (1) — (5) с периодом опорной частоты в  $2^d$  раз), то на выходе интервал неравномерности  $T$  при увеличится в  $2^d$  раз, а число импульсов  $N_{\text{пр}}$  останется неизменным. Кроме того, в импульсной последовательности появятся импульсы с временным сдвигом  $T_{\text{ср}}$ , отличным от  $T_{\max}$  и  $T_{\min}$ . Значения  $T_{\max}$ ,  $T_{\min}$  и  $T_{\text{ср}}$  на выходе буферного делителя зависят от комбинации двоичных составляющих и значения  $2^d$  определяют новое значение  $K_{\text{пр}}$ .

Необходимо оценить влияние буферных делителей на величину  $K_{\text{пр}}$  для всех  $2^n$  возможных комбинаций.

С этой целью рассмотрим все три группы неравномерных импульсных последовательностей при наличии на выходе УДЧ буферного делителя емкостью  $2^d$ .

**Первая группа** комбинаций характеризуется  $N_{\text{пр}} = 3$ .

Так как число импульсов на интервале неравномерности при включении буферных делителей остается неизменным, то:

а) после каждого нечетного деления ( $d = 2k+1$ ) интервал неравномерности будет характеризоваться двумя максимальными периодами следования импульсов с

$$T_{\max}^{(2k+1)} = T_{\max}^{(2k)} + T_{\min}^{(2k)} \quad (7)$$

и одним минимальным с

$$T_{\min}^{(2k+1)} = 2T_{\min}^{(2k)}. \quad (7a)$$

б) после каждого четного деления ( $d = 2k$ ) — одним максимальным периодом с

$$T_{\max}^{(2k)} = 2T_{\max}^{(2k-1)} \quad (8)$$

и двумя минимальными с

$$T_{\min}^{(2k)} = T_{\max}^{(2k-1)} + T_{\min}^{(2k-1)}. \quad (8a)$$

Решение рекуррентных уравнений (7), (7a), (8) и (8a) дает следующие зависимости:

$$\begin{aligned} T_{\max}^{(2k+1)} &= \frac{2^{2k+3} + 1}{6} T_{\max}, \quad T_{\max}^{(2k)} = \frac{2^{2k+1} + 1}{3} T_{\max}, \\ T_{\min}^{(2k+1)} &= \frac{2^{2k+2} - 1}{3} T_{\max}, \quad T_{\min}^{(2k)} = \frac{2^{2k+2} - 1}{6} T_{\max}. \end{aligned} \quad (9)$$

Следовательно,

$$K_{\text{пр}}^{(d)} = \begin{cases} \frac{2^{2k+3} + 1}{2^{2k+3} - 2} & \text{при } d = 2k+1, \\ \frac{2^{2k+2} + 2}{2^{2k+2} - 1} & \text{при } d = 2k. \end{cases} \quad (10)$$

**Вторая группа** комбинаций неравномерной импульсной последовательности может быть разбита на комбинации с  $\eta_{\min} < 2^d$  и  $\eta_{\min} \geq 2^d$ .

Для случая  $\eta_{\min} \geq 2^d$  интервал неравномерности на выходе буферного делителя будет характеризоваться

$$T_{\max}^{(d)} = T_{\max}^{(d-1)} + T_{\min}^{(d-1)} \quad (11)$$

$$T_{\min}^{(d)} = 2^d T_{\min}. \quad (11a)$$

Решением рекуррентного уравнения (11) является

$$T_{\max}^{(d)} = (2^d - 1) T_{\min} + T_{\max}.$$

Так как  $T_{\max} = 2T_{\min}$ , то

$$T_{\max}^{(d)} = (2^d + 1) T_{\min}. \quad (12)$$

При  $\eta_{\min} < 2^d$  после деления на  $2^d > \eta_{\min}$  в импульсной последовательности

d	1-я группа			2-я группа			3-я группа		
	1	2	3	1	2	3	1	2	3
$T_{\max}^{(d)} / T_0 2^{-d}$	$3 \cdot 2^{p-1}$	$3 \cdot 2^{p-1}$	$11 \cdot 2^{p-1}$	$3 \cdot 2^{p-1}$	$5 \cdot 2^{p-1}$	$9 \cdot 2^{p-1}$	$2 \cdot 2^p$	$4 \cdot 2^p$	$8 \cdot 2^p$
$T_{\min}^{(d)} / T_0 2^{-d}$	$2^p$	$5 \cdot 2^{p-1}$	$5 \cdot 2^p$	$2^p$	$2^{p+1}$	$2^{p+2}$	$2^p$	$3 \cdot 2^p$	$7 \cdot 2^p$
$K_{\text{hp}}^{(d)}$	1,5	1,2	1,1	1,5	1,25	1,125	2	1,33	1,14

появляются импульсы с временным сдвигом  $T_{cp}$ . В этом случае

$$T_{\max}^{(d)} = 2T_{\max}^{(d-1)}, \quad T_{\min}^{(d)} = 2T_{\min}^{(d-1)}, \quad T_{cp}^d = T_{\max}^{(d-1)} + T_{\min}^{(d-1)}. \quad (13)$$

Из (11a), (12) и (13) для второй группы комбинаций получаем

$$K_{\text{hp}}^{(d)} = \begin{cases} 1 + 2^{-d} & \text{при } \eta_{\min} \geq 2^d, \\ 1 + 2^{-d-1} & \text{при } \eta_{\min} < 2^d. \end{cases} \quad (14)$$

**Третья группа комбинаций** характеризуется величиной  $\eta_{\min} = 2$ . Поэтому при  $\eta_{\max} \geq 2^d$  интервал неравномерности после деления на 2 (т. е.  $d=1$ ) будет определяться соотношениями

$$T_{\max}^{(1)} = 2T_{\max}, \quad T_{\min}^{(1)} = 2T_{\min} = T_{\max}.$$

После следующих делений

$$T_{\max}^{(d)} = 2^d T_{\max}, \quad (15)$$

$$T_{\min}^{(d)} = T_{\max}^{(d-1)} + T_{\min}^{(d-1)}. \quad (16)$$

Решением рекуррентного уравнения (16) является

$$T_{\min}^{(d)} = (2^d - 1) T_{\max}. \quad (17)$$

Кроме того, для этих комбинаций характерно появление периода

$$T_{cp}^{(d)} = T_{\max}^{(d-1)} + T_{\min}^{(d-1)} = (2^d + 1) T_{\max}.$$

При  $\eta_{\max} < 2^d$  после деления на  $2^d > \eta_{\max}$

$$T_{\max}^{(d)} = T_{\max}^{(d-1)} + T_{cp}^{(d-1)}, \quad T_{\min}^{(d)} = T_{\min}^{(d-1)} + T_{cp}^{(d-1)}, \quad T_{cp}^{(d)} = 2T_{cp}^{(d-1)}.$$

Следовательно, для комбинаций третьей группы

$$K_{\text{hp}}^{(d)} = \begin{cases} (2^d + 1)/2^d & \text{при } \eta_{\max} < 2^d, \\ 2^d/(2^d - 1) & \text{при } \eta_{\max} \geq 2^d. \end{cases} \quad (18)$$

В таблице приведены данные расчета  $T_{\max}^{(d)}$ ,  $T_{\min}^{(d)}$  и  $K_{\text{hp}}^{(d)}$ , а на рис. 2 — графики зависимостей  $K_{\text{hp}}^{(d)} = f(d)$  для всех групп комбинаций при  $d \leq 3$  (номера кривых на рис. 2 соответствуют принятым в данной работе номерам групп комбинаций).

Использование в системах управления станками буферных делителей с  $d > 3$ , по-видимому, ненецелесообразно, так как потребует увеличения частоты  $f_0$  более чем в 8 раз при незначительном уменьшении  $K_{\text{hp}}$ . Кроме того, возрастание  $f_0$  резко снижает выбор логических элементов, используемых при реализации схемы, по быстродействию.

Поскольку в соответствии с (5) и (6) импульсные последовательности второй группы комбинаций характеризуются  $\eta_{\min} \geq 6$ , а третьей —  $\eta_{\max} \geq 3$ , то данные таблицы и графика (см. рис. 2) применимы практически для всего множества  $2^n$  комбинаций двоичных субгармонических составляющих.

Полученные результаты позволяют сделать следующие выводы.

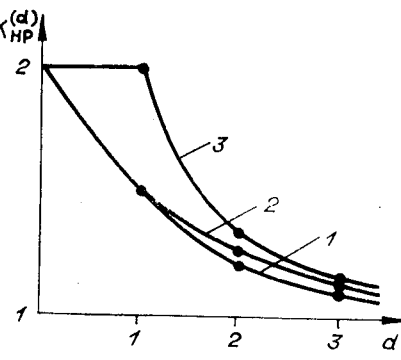


Рис. 2.

1. Возникающая за счет применения УДЧ неравномерность в следовании импульсов может быть значительно уменьшена с помощью буферных делителей, емкость которых при заданном значении  $K_{\text{пп}}^{(d)}$  определяется из выражений (10), (14), (18).

Однако решение уравнений (9), (11а), (12), (15) и (17) показывает, что при любом значении  $d$

$$T_{\max}^{(d)} - T_{\min}^{(d)} = \begin{cases} T_{\min} & \text{для 1-й и 2-й групп комбинаций,} \\ T_{\max} & \text{для 3-й группы комбинаций.} \end{cases}$$

2. При введении буферного делителя емкостью  $2^d=8$  для всего множества комбинаций  $1,1 \leq K_{\text{пп}}^{(d)} \leq 1,14$ .

## ЛИТЕРАТУРА

- Рохман М. Г. Образование временного интервала неравномерной импульсной последовательностью.— Депонированные рукописи. [Библиографический указатель ВИНИТИ], 1978, № 1 (75), с. 190.
- Рохман М. Г. Анализ влияния неравномерной импульсной последовательности на выработку числа.— Вестн. Харьк. политехн. ин-та, № 136. Автоматика и приборостроение. Вып. 5. Харьков: Вища школа, 1978, с. 13—15.
- Раисов Ю. А. Исследование универсального цифрового интерполатора, работающего по методу вычисления оценочной функции: Автореф. на соиск. уч. степени канд. техн. наук. Харьков: изд. ХПИ, 1967.
- Фурман Б. А. Низкочастотные возмущения в цифровых регуляторах скорости электроприводов, определяемые неравномерностью работы дискретных задатчиков.— Электротехн. пром-сть. Сер. Электропривод, 1974, вып. 3(29), с. 3—5.

Поступило в редакцию 18 мая 1978 г.;  
окончательный вариант — 15 августа 1978 г.

УДК 681.332.35

В. П. БАРАНОВ  
(Москва)

## О ПОГРЕШНОСТИ ЦИФРОЧАСТОТНОГО ИНТЕГРИРОВАНИЯ

При решении задач вычислительной и информационно-измерительной техники возникает необходимость построения частотно-цифровых функциональных преобразователей, характеристика которых обычно представляется в виде кусочно-линейной функции [1]. Из устройств, реализующих линейное интерполирование отдельных участков характеристики преобразователей, предпочтение за счет выигрыша в быстродействии и объеме оборудования отдается цифрочастотным интеграторам [2], теория точности которых продолжает развиваться [2—4].

В настоящей статье предлагается метод исследования погрешности цифрочастотного интегрирования константы на структурах с произвольным основанием системы счисления, определяются ее вероятностные оценки и указывается потенциальная точность.

На рис. 1 представлена структурная схема цифрочастотного интегратора. Здесь рассматривается случай работы программного счетчика в системе счисления с основанием  $p$ , хотя обычно предпочтение отдается двоичным ( $p=2$ ) или десятичным ( $p=10$ ) счетчикам.

При интегрировании константы  $Y = \sum_{i=1}^n y_i p^{-i}$ ,  $y_i \in \{0, 1, \dots, p-1\}$  по дискретному времени  $t=0, 1, 2, \dots$  каждым  $i$ -м разрядом программного счетчика вырабатывается последовательность импульсов  $v_i(t)$ , занимающая временные такты  $t_{v_i} \in \{1p^{i-1}, 2p^{i-1}, \dots, (p-1)p^{i-1}, (p+1)p^{i-1}, \dots, (2p-1)p^{i-1}, (2p+1)p^{i-1}, \dots\}$ .

Каждая последовательность определяет соответствующий комбинационный элемент, в котором в зависимости от заложенного способа кодирования из каждого